

Identificazion di massis concentratîs in nanorisonadôrs

MICHELE DILENA*, MARTA FEDELE DELL'OSTE*,
JOSÉ FERNÁNDEZ-SÁEZ **,
ANTONINO MORASSI* & RAMÓN ZAERA **

Ristret. In chest lavorô si cjape in rassegne une schirie di risultâts otignûts di resint tal cjamp dai problemis inviers di identificazion de masse tes nanotrâfs par mieç de misurazion des frequencis di risonance. La nanotrâf e je modelade tal rispiet de teorie dal gradient di deformazion, daûr des ipotesis cinetichis di Euler-Bernoulli. Te prime part dal contribût, si trate de individuazion di un piçul pont masse singul intune nanotrâf uniforme supuartade ai doi cjaueçs. La linearizazion dal probleme inviers dongje dal sisteme referenziâl e permet di stabili che la cognossince dai cambiaments des primis dôs frequencis di risonance e permet di determinâ in maniere univoche la intensitât de masse e la posizion de masse fin a une posizion simetriche. Si derivin espressions in forme sierade pe posizion e intensitât de masse zontade. Te seconde part dal contribût, il metodi al ven aplicât a la identificazion di doi piçui ponts masse zontâts a une nanotrâf uniforme poiade ai doi cjaueçs, doprant i cambiaments tes primis cuatri frequencis di risonance.

Peraulis clâf. Sensôrs nanorisonadôrs, ponts masse, identificazion, problemis inviers.

1. Introduzion. Tai ultins agns, la necessitât tai sistemis industriâi e biologjics di misurâ proprietâts fisichis e chimichis in scjale submicroniche e à fat cressi la atenzion e l'interès sui nanosensôrs. Lis dimensions ridotis di chescj

* Dipartiment Politecnic di Inzegnarie e Architetture, Universitât dal Friûl, Udin, Italie.

E-mail: antonino.morassi@uniud.it

** Dipartiment di Mecaniche Continue e Analisi Strutural, Universidad Carlos III de Madrid, Spagne.

trasdutòrs a àn puartât al disvilup di gnûfs concets di rilevament e a un miorament des prestazions cuntun grant impat su cetantis aplicacions (Voiculescu and Zaghloul, 2015; Lim, 2011). Un dai exemplis plui representatîfs dai vantaçs de riduzion di scjale tai sistemis di rilevament al è il risonadôr nanomecanic, che al consist intune struture vibrante cun prestazions une vore buinis tal rilevament di piçulis massis aderentis che a produsin piçulis variazions tes frecuencis di risonance dal sisteme (Wang and Arash, 2014). Il *principi di rilevazion de masse* par chescj sistemis al dopre lis variazions des frecuencis di risonance causadis di massis adizionâls no cognossudis tacadis su la superficie dal sensôr tant che dâts par ricostruî la variazion de masse.

Derivât des tecnichis di microscopie a fuarce atomiche, il sensôr basât su nanotrâfs al è un dai plui comuns jenfri i sistemis doprâts pal rilevament de masse. Fin dal inizi, lis nanotrâfs a son stadiis dopradis par rilevâ particulis di dimensions microscopichis (Braun et al., 2005), celulis, sporis di foncs (Gfeller et al., 2005), moleculis di DNA (Datar et al., 2009) e parfin atoms (Jensen et al., 2008). Studis resints a àn esplorât la pussibilitât di doprâ pai rilevaments risonadôrs bidimensionâi, tant che nanomenbranis e nanoplachis, si viodi, par esempi, Alava et al. (2010), Bhaswara et al. (2014) e Fernández-Sáez et al. (2019).

Une carateristiche clâf des nanostruturis e je la nécessitat di tignî cont dai efiets de dimension cuant che si elaborin modei de lôr rispueste mecaniche, par vie che lis lôr dimensions a deventin comparabilis a lis distancis microstruturâls carateristichis. A chest fin, i modei continuis gjeneralizâts a rivin a caturâ sei i efiets de microstruture sei i efiets de dimension (Kröner, 1963; Toupin, 1963; Green and Rivlin, 1964; Mindlin, 1964). Jenfri lis variis teoriis dal gradient di deformazion, chê proponude in Lam et al. (2003) (cognossude tant che *teorie dal gradient di deformazion modificât*) e risalte tant che alternative interessante par superâ lis dificoltâts associadis ae suaze di elasticitât dal dut no locâl, si viodi Romano et al. (2017), e e je stade doprade di diviers autôrs par analizâ la rispueste mecaniche di diviersis tipologjiis di nanostruturis.

No cate aplicacions impuantantis tai cjamps de fisiche, de chimiche e de biologije, lis ricercjis teorichis disponibilis sul probleme inviers di rilevâ massis adizionâls tai nanorisonadôrs a son pocjis. Doprant la teorie dal gradient di deformazion modificât, Morassi et al. (2017) a àn analizât pe prime volte la vibrazion assiâl di une nanotrâf uniforme cptune singule masse di piçule entitât tacade e a àn proponût un metodi di identificazion par determinâ la intensitat e la posizion de masse fondât suntune metodiche di perturbazion dai autovalôrs. In Morassi et al. (2019) i risultâts otignûts a son stâts estindûts ae vibrazion flessionâl di nanotrâfs uniformis cuntun piçul pont masse tacât. Fondantsi su la expression esplicite des variazions des autofrecuencis causadis dal pont masse, a son stadiis otignudis expressions sieradis sedi de posizion sedi de intensitat dal pont masse tes condicions di cjaueç supuartâts.

Tes Sezions 2 e 3 di cheste note si cjapìn in rassegne cualchidun dai risultâts otignûts in Morassi et al. (2019). Te Sezion 4, si ggeneralize la analisi a la identificazion, par mieç di dâts minims di frecuence di risonance, di doi piçui ponts masse intune nanotrâf uniforme supuartade.

2. Identificazion di un piçul pont masse intune nanotrâf par mieç di dôs frecuencis di risonance. Introdusarìn il nestri probleme inviers in tiermins matemàtics. Assumint la ipotesi cinetiche de teorie de trâf di Euler-Bernoulli e lavorant te suaze de teorie dal gradient di deformazion modifidât proponude di Kong et al. (2009), la ampece spaziâl $u = u(x)$ de vibrazion trasversâl cun frecuence radiâl $\sqrt{\lambda}$ de nanotrâf uniforme di riferiment e je regolade de ecuazion

$$Su^{IV} - KU^{VI} = \lambda\rho u, \quad \text{in}(0, L), \quad (2.1)$$

dulà che L e je la lungjece de nanotrâf e ρ e je la masse par unitât di lungjece. I coeficients S e K a son dâts di

$$S = EI + 2GA l_0^2 + \frac{120}{225} G A l_1^2 + G A l_2^2, \quad K = I \left(2G l_0^2 + \frac{4}{5} G l_1^2 \right), \quad (2.2)$$

dulà che G al è il modul di tai, E il modul di Young, I il secont moment de aree, ν il rapuart di Poisson, e l_0, l_1, l_2 a son lis costantis materiâls adizionâls che a coventin par completâ il model; si viodi Akgoz and Civalek (2011). Si à di notâ che cuant che $l_i = 0$, $i = 0, 1, 2$, cheste formulazion e coincît cun chê classiche.

In chest studi si ocupìn di nanotrâfs supuartadis, o ben di nanotrâfs che a ducj i doi i cjaueçs a vedin tant che cundizions al contor in $x = 0$ e in $x = L$:

$$u(x) = 0, \quad -Su''(x) + Ku^{IV}(x) = 0, \quad u''(x) = 0. \quad (2.3)$$

Lis autocubiis di (2.1), (2.3) a àn cheste espression in forme sierade:

$$\lambda_n = \left(\frac{n\pi}{L} \right)^6 \left[\frac{K}{\rho} + \frac{S}{\rho} \frac{1}{\left(\frac{n\pi}{L} \right)^2} \right], \quad (2.4)$$

$$u_n(x) = \sqrt{\frac{2}{\rho L}} \sin \left(\frac{n\pi x}{L} \right), \quad n \geq 1. \quad (2.5)$$

Prossumìn che la nanotrâf e vedi un pont masse tacât di intensitât $M > 0$ al pont di assisse $x = s$, $0 < s < L$. Il corispondent probleme dai autovalôrs

perturbâts al consist tal determinâ la cubie di autovalôrs $\{\tilde{\lambda}, \tilde{u}(x)\}$ soluzion di

$$\left\{ \begin{array}{l} S\tilde{u}^{IV} - K\tilde{u}^{VI} = \tilde{\lambda}\rho\tilde{u}, \quad \text{in } (0, s) \cup (s, L), \\ \tilde{u}(0) = \tilde{u}''(0) = 0, \\ (-S\tilde{u}'' + K\tilde{u}^{IV})(0) = 0, \\ [[\tilde{u}(s)]] = 0, \\ [[\tilde{u}'(s)]] = 0, \\ [[\tilde{u}''(s)]] = 0, \\ [[[(-S\tilde{u}''' + K\tilde{u}^V)(s)]] = -\tilde{\lambda}M\tilde{u}(s), \\ [[[(-S\tilde{u}'' + K\tilde{u}^{IV})(s)]] = 0, \\ [[K\tilde{u}'''(s)]] = 0, \\ (-S\tilde{u}'' + K\tilde{u}^{IV})(L) = 0, \\ \tilde{u}(L) = \tilde{u}''(L) = 0. \end{array} \right. \quad (2.6)$$

Achì, $[[f(s)]] \equiv (f(s^+) - f(s^-)) = \lim_{x \rightarrow s^+} f(x) - \lim_{x \rightarrow s^-} f(x)$.

Prossummin che la masse adizionâl e sedi piçule rispiet a la masse totâl de nanotrâf, par esempli, $M \ll \rho L$. Dai risultâts classics al risulte che l' n -esim autovalôr $\tilde{\lambda}_n = \lambda_n(M)$ al è une funzion C^1 in $[0, \infty)$ de masse M , e la derivade prime e à la espression esplicite

$$\frac{\partial \tilde{\lambda}_n}{\partial M} = -\tilde{\lambda}_n \frac{\tilde{u}_n^2(s)}{M\tilde{u}_n^2(s) + \int_0^L \rho\tilde{u}_n^2}. \quad (2.7)$$

Daûr di (2.7), la aprossimazion di prin ordin dal n -esim autovalôr perturbât rispiet a M e je

$$\tilde{\lambda}_n(M) = \lambda_n - \lambda_n u_n^2(s)M, \quad (2.8)$$

dulà che e ven cjapade in considerazion la cundizion di normalizazion de masse $\int_0^L \rho u_n^2 = 1$. Se o sostituùn lis espressions (2.4), (2.5) in (2.8), o otignìn

$$C_n^S = M \sin^2 \left(\frac{n\pi s}{L} \right), \quad (2.9)$$

cun

$$C_n^S = -\frac{(\tilde{\lambda}_n - \lambda_n) \rho L}{2}, \quad n \geq 1. \quad (2.10)$$

La espression (2.9) e mostre che la identificazion dal pont masse e pues jessi otignude doprant i cambiaments intune cubie specifiche di freuencis di resonance, ven a stâi chei che a corispuindin ae n -esime e $2n$ -esime cubie di freuencis, par $n \geq 1$. Di fat, se $C_n^S > 0$, alore si pues rigjavâ chestis espressions in forme sierade pe intensitât e posizion de masse:

$$M = \frac{C_n^S}{1 - \frac{C_{2n}^S}{4C_n^S}}, \quad (2.11)$$

$$\cos\left(\frac{2n\pi s}{L}\right) = \frac{C_{2n}^S}{2C_n^S} - 1. \quad (2.12)$$

Al contrari, se $C_n^S = 0$ par cierts $n \geq 2$, alore il pont masse si cjate intun dai ponts nodâi dal n -esim mût di vibrazion. In chest cás la intensitât di masse e reste indeterminade.

Par finî, al vâl la pene notâ che la misure dai prins doi spostaments de frecuence di risonance e determine in maniere univoche la posizion dal pont di masse fin a la simetrie rispiet a $x = L/2$.

3. Aplicazions. In cheste sezion, o valutarìn la finece de metodiche de perturbazion tal stimâ lis primis dôs frecuencis naturâls de nanotrâf supuartade. Cun di plui, o aplicarìn il metodi di rilevament che o vin descrit parsore cun $n = 1$ par identificâ sedi la posizion sedi la intensitât dal pont masse.

Al fin ilustratîf, proprietâts gjeometrichis e materiâl de nanotrâf a son cjapâts tant che in Kong et al. (2009). O prossumìn che la nanotrâf e vedi une sezion trasversâl retangolâr ecuivalente, cun spessôr $h = 50 \mu\text{m}$, largjece $b = 2h$, lungjece $L = 20h$, modul di Young $E = 1.44 \text{ GPa}$, e rapuart di Poisson $\nu = 0.38$. I trê parametris de scjale di lungjece a son assumûts compagns, par esempli, $l_i = 17.6 \mu\text{m}$, $i = 0, 1, 2$.

La finece de metodiche perturbative e je testade comparant i valôrs des cubiis di frecuencis, determinâts cjatant la soluzion esate dal probleme (2.6), e i lôr valôrs aprossimatifs otignûts par mieç de soluzion perturbative (2.8). I risultâts par valôrs diviers di h/l e par posizions diviersis s/L dal pont masse (normalizade a la masse totalâ ρL) a son delineadis tes Figuris 1 e 2.

I risultâts numerics a mostrin che la finece de stime perturbative de frecuence e je pluitost uniforme rispiet al fatôr di scjale l , al mancul tal interval di valôrs considerâts. In gjenerâl, plui piçule e je la ampele $u_n(s)$, miôr e je la precision. In particolâr, la difference massime jenfri il valôr esat e chel de frecuence di risonance dal prin ordin si cjate a $s/L = 0.50$ e $s/L = 0.25$, tal ordin pal prin e il secont mût. Lis deviazions massimis a son, tal ordin, cirche 1, 4, 9 % (prin mût) e 1, 5, 11 % (secont mût) par $M/(\rho L) = 0.05, 0.10, 0.15$.

Tal aplicâ il metodi di identificazion, i spostaments di frecuence a son stâts valutâts par mieç de risoluzion esate dal probleme dai autovalôrs in configurazion referenziâl e perturbade. Lis simulazions a son stadiis puartadis indenant doprant dâts cence rumôr, si ben che une aprossimazion intrinseche e je ancjemò presinte par vie dal concjament di prin ordin (2.8) te serie di Taylor dai autovalôrs. La Figure 3 e mostre i risultâts cu la variazion continue de posizion s/L dal pont masse dentri dal interval $[0, 1/2]$ e l'ús di valôrs selezionâts de intensitât di masse normalizade $M/(\rho L) = 0.010, 0.025, 0.050, 0.100, 0.150, 0.200$. Chescj valôrs a corispuindin in maniere aprossimade a variazions massimis relativis $\delta\lambda_n/\lambda_n$ a ecuivalin a 2, 5, 9, 17, 23, 29% e 2, 5, 9, 16, 22, 26% par $n = 1$ e $n = 2$, tal ordin. L'erôr massim su la posizion de masse al è sù par jù 5%

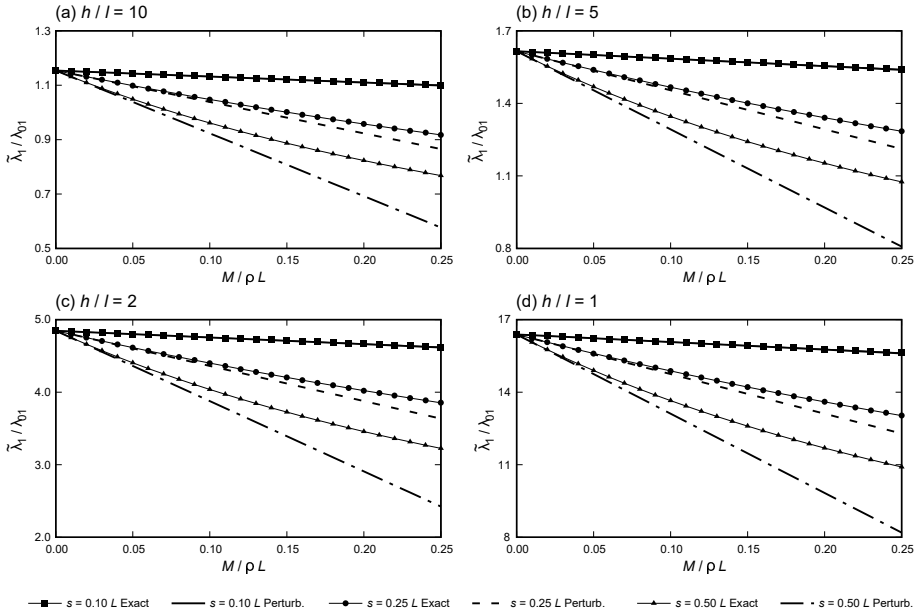


Figure 1: Prin autovalôr normalizât rispet al pont masse adimensionâl, par diviersis posizioni di masse e diviers valôrs dal parametri di scjale di lungjece.

par $M/(\rho L) = 0.200$, e lis stimis a restin acuradis ancje par valôrs di masse elevâts. La determinazion de intensitât de masse e je mancul acurade, cun erôrs che a rivin fin a 15 – 30% e 40 – 50% par $M/(\rho L) = 0.050 – 0.100$ e $M/(\rho L) = 0.150 – 0.200$, tal ordin.

4. Identificazion di doi ponts masse. La analisi disvilupade te sezion precedente e pues jessi estindude a la identificazion di doi piçui ponts masse (s_1, M_1) , (s_2, M_2) , tacâts a une nanotrâf uniforme supuartade, dai cambiamenti tes primis cuatri frecuencis di risonance, dulà che $0 < s_1 < s_2 < L$ e $M_i \ll \rho L$, $i = 1, 2$.

Lis vibrazions trasversâls libaris de nanotrâf perturbade a sodisfin il probleme (2.6), dulà che la ecuazion differenziâl e vâl in $(0, s_1) \cup (s_1, s_2) \cup (s_2, L)$ e lis cundizions di salt a tegnин tes sezions $x = s_1$ e $x = s_2$. Procedint come che al è stât fat te sezion 2 e cu la notazion fate parsore, il cambiament di prin ordin dal n -esim autovalôr al è dât di

$$C_n^S = M_1 \sin^2 \left(\frac{n\pi s_1}{L} \right) + M_2 \sin^2 \left(\frac{n\pi s_2}{L} \right), \quad (4.1)$$

dulà che C_n^S al è definît come in (2.10), $n \geq 1$.

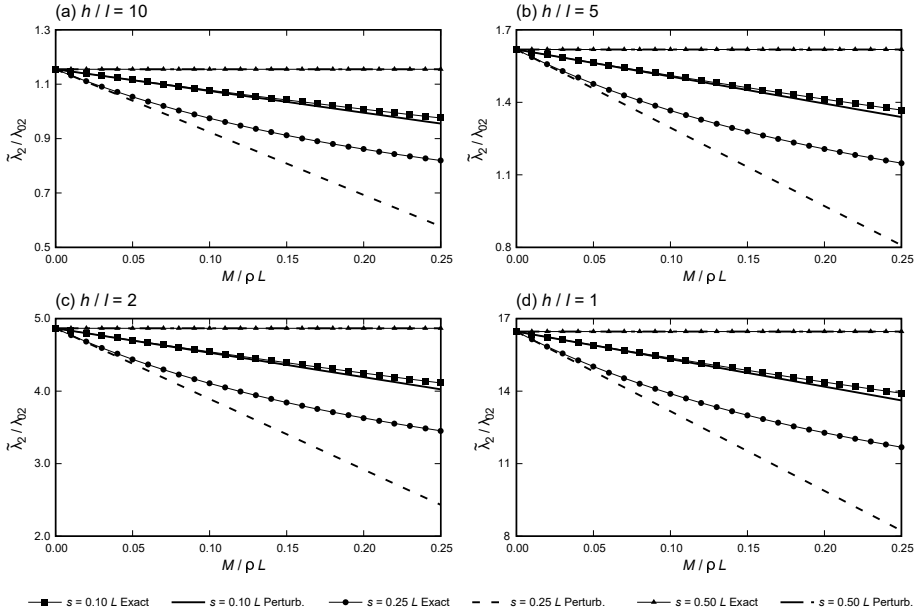


Figure 2: Secont autovalôr normalizât rispet al pont masse adimensionâl, par diviersis posizions di masse e diviers valôrs dal parametri di scjale di lungjece.

Pe simetrie dal sisteme no perturbât, lis configurazions $\{(s_1, M_1), (s_2, M_2)\}$, $\{(L - s_1, M_1), (L - s_2, M_2)\}$, $\{(L - s_1, M_1), (s_2, M_2)\}$, $\{(s_1, M_1), (L - s_2, M_2)\}$ no puedin jessi distintis dai dâts des frecuencis di risonance. Tignint cont di cheste no unicitat intrinsiche dal probleme, nol è restritif assumi

$$0 < s_1 < s_2 \leq \frac{L}{2}. \quad (4.2)$$

O formulîn, cumò, il probleme inviers in tiermins di variazions tes primis cuatri frecuencis naturâls. Se o scrivîn (4.1) par $n = 1, 2, 3, 4$, o otigmìn il sistemé seguitif di ecuazions no lineârs di risolvi rispet ai cuatri parametrîs (s_1, M_1) , (s_2, M_2) :

$$\begin{cases} M_1 \sin^2 \frac{\pi s_1}{L} + M_2 \sin^2 \frac{\pi s_2}{L} = C_1^S, \\ M_1 \sin^2 \frac{2\pi s_1}{L} + M_2 \sin^2 \frac{2\pi s_2}{L} = C_2^S, \\ M_1 \sin^2 \frac{3\pi s_1}{L} + M_2 \sin^2 \frac{3\pi s_2}{L} = C_3^S, \\ M_1 \sin^2 \frac{4\pi s_1}{L} + M_2 \sin^2 \frac{4\pi s_2}{L} = C_4^S, \end{cases} \quad (4.3)$$

dulà che

$$C_i^S > 0, \quad i = 1, 2, 3, \quad C_4^S \geq 0. \quad (4.4)$$

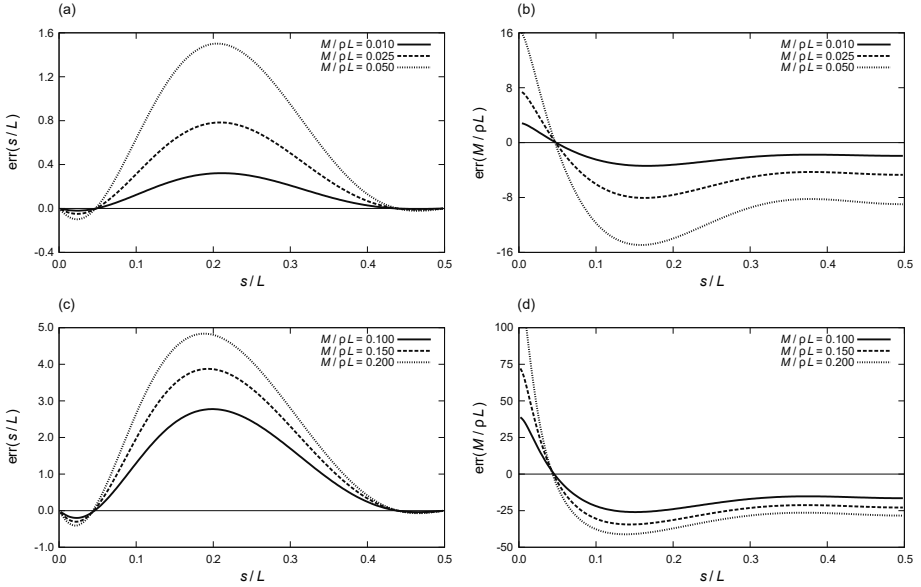


Figure 3: Identificazion par mieç des variazions des primis dôs frecuencis propriis par diviers valôrs dal pont masse. Colone a man çampe: erôrs percentuâi su la posizion de masse, $err(s) = 100 \times (s_{\text{ident}} - s_{\text{exact}})/L$. Colone a man drete: erôrs percentuâi su la intensitât di masse, $err(M/(\rho L)) = 100 \times (M_{\text{ident}} - M_{\text{exact}})/M_{\text{exact}}$.

Il sisteme (4.3) al à la stesse struture dal sisteme (13)–(16) introdususût in Rubio et al. (2016) pe identificazion di dôs fressuris vîrtis di gravitât divierse intune trâf (classiche) te cundizion che i doi cjaiveçs a sedin supuartâts semplicementri. Sì che duncje, si puedin adatâ i resonaments formulâts in Rubio et al. (2016) e cjatâ la soluzion esplicite dal sisteme no lineâr (4.3). Lassant in bande i detais e rimandant il letôr interessât al lavôr citât, achì si limitisi a reclamâ il risultât principál: la cognossince des primis cuatri frecuencis naturâls e permet di determinâ in maniere univoche la intensitât e la posizion dai doi ponts masse, fin a la simetrie rispet a la sezion centrâl de nanotrâf. Al è rilevant che si puedi otignî espressions di forme sierade in tiermins di dâts di frecuence naturâl sedi pes posizions sedi pes intensitâts de masse.

In curt, o delineìn i resonaments plui impuantants che si puedin doprà par provâ i risultâts descrits parsore. Il câs particolâr dulà che $C_4^S = 0$ al è semplic. Se C_4^S al sparîs, alore $s_1 = \frac{L}{4}$ e $s_2 = \frac{L}{2}$, e si oten facilmentri

$$M_1 = C_2^S, \quad M_2 = \frac{2C_1^S - C_2^S}{2}. \quad (4.5)$$

Par discuti dal câs gjeneral, al è util introduusi chestis *variabilis di posizion*

$$x = x(s_1) = \cos \frac{2\pi s_1}{L} \in [-1, 1], \quad y = y(s_2) = \cos \frac{2\pi s_2}{L} \in [-1, 1]. \quad (4.6)$$

Si à di notâ che par $s \in (0, L/2]$ la funzion $f(s) = \cos(\frac{2\pi s}{L})$ e je une corispondence un a un jenfri l'interval $(0, L/2]$ e l'interval $[-1, 1]$. Sì che duncje, se o rivìn a cjatâ lis dôs variabilis $\{x, y\}$, alore o rivìn a determinâ in maniere univoche lis posizions $\{s_1, s_2\}$ des dôs massis.

Daûr des argomentazions mostradis in Rubio et al. (2016), la variabil di posizion x e risulté jessi la lidrîs de ecuazion polinomiâl di secont ordin

$$x^2 - Sx + P = 0, \quad (4.7)$$

dulà che i numars reâi $S = x + y$ e $P = xy$ a puedin jessi determinâts doprant une espression di forme sierade dai dâts C_i^S , $i = 1, \dots, 4$. Denotin cun

$$x_{\mp} = \frac{S \mp \sqrt{S^2 - 4P}}{2} \quad (4.8)$$

lis dôs lidrîs (4.7), dulà che la notazion x_- , x_+ e corispunkt, tal ordin, al segn $-$ e al segn $+$ de bande di man drete di (4.8). Cun di plui, anche lis variabilis di posizion y_- , y_+ a corispuidin, tal ordin, a la soluzion x_- , x_+ , e a puedin jessi determinadis in maniere esplicite. Se o denotin cun (x, y) une des dôs soluzions (x_-, y_-) , (x_+, y_+) , chestis espressions di forme sierade a valin pes intensâts di masse:

$$M_1 = \frac{C_2 - 2C_1(1+y)}{(1-x)(x-y)}, \quad (4.9)$$

$$M_2 = \frac{C_2 - 2C_1(1+x)}{(1-y)(y-x)}. \quad (4.10)$$

In conclusion, l'insiemi complet di soluzions par (4.3) al è dât di

$$\{(s_{1-}, M_{1-}), (s_{2-}, M_{2-})\}, \quad \{(s_{1+}, M_{1+}), (s_{2+}, M_{2+})\}, \quad (4.11)$$

dulà che (M_{1-}, M_{2-}) , (M_{1+}, M_{2+}) a son valutâts, tal ordin, di (4.9) cun $(x = x_-, y = y_-)$ e di (4.10) cun $(x = x_+, y = y_+)$. Lis posizions di masse $s_{i\mp}$, $i = 1, 2$, si cjatin cul invertî la funzion $\cos \frac{2\pi s}{L}$ su $(0, L/2]$.

Tal ultin, se si ten cont che $y_- = x_+$, $y_+ = x_-$ e che $M_{1+} = M_{2-}$, $M_{2+} = M_{1-}$, al è facil dimostrâ che lis dôs configurazions inte (4.11) di fat a coincidin. Sì che duncje o vin dimostrât che cognossi lis primis cuatri freqüencias naturâls al permet di determinâ in maniere univoche lis dôs massis concentradis, fin a la simetrie rispet a la sezion central de nanotrâf.

O vin efetuât une schirie di simulazions numerichis par diviersis posizions di ponts masse e par diviersis intensâts di masse. Te part seguitive, o presentin

e discutìn vot senaris, che a mostrin lis carateristichis principâls dal probleme inviers e de tecniche di identificazion. I prins cuatri câs, identificâts cun a, b, c, d , a corispuindin a lis posizions $s_1/L = 0.20$, $s_2/L = 0.35$, dulà che pai câs e, f, g, h o prossumìn $s_1/L = 0.20$, $s_2/L = 0.45$. Lis intensitâts di masse a van dal 0.4% al 10% de masse totál de nanotrâf, che si viodi la Tabele 1.

La Tabele 2 e mostre i autovalôrs dal sisteme no perturbât e perturbât. I autovalôrs dal sisteme perturbât a son stâts otignûts cjatant la soluzion esate dal probleme dai autovalôrs cui valôrs reâi dai parametris di masse. I risultâts de identificazion a son ripuartâts te Tabele 3. Si pues osservâ che la soluzion previodude de teorie in gjenerâl e je une stime pluitost buine de soluzion esate dal probleme inviers. Lis discrepancis jenfri i parametris di masse identificâts e chei reâi a dipendin dome de ipotesi di perturbazion de piçule masse. Lis deviazions a son plui piçulis tal câs di massis di piçule intensitât, cemût che si pues spietâsi, parcè che il probleme inviers al è linearizât dongje de nanotrâf no perturbade. Erôrs massims di cirche 2 – 3% e 15 – 20% si osservin, tal ordin, pe posizion e pe intensitât.

Par completece, si à di notâ che lis simulazions numerichis no àn puartât a risultâts acurâts tal câs di ponts masse un dongje di chel altri. Il motif di cheste discrepance al è peât a la procedure di ricostruzion che o vin mostrât parsore e, in particolâr, a la determinazion dai parametris S, P par mieç de inversion di un sisteme lineâr a doi a doi. Al è pussibil dimostrâ che la inversion di chest sisteme lineâr e je mal ponude cuant che $s_1 \simeq s_2$, di mût che i efets de ipotesi di un piçul dam a son amplificâts a fuart.

Table 1: Senaris par doi ponts masse $a - h$.

	a	b	c	d	e	f	g	h
s_1/L	0.200	0.200	0.200	0.200	0.200	0.200	0.200	0.200
s_2/L	0.350	0.350	0.350	0.350	0.450	0.450	0.450	0.450
$M_1/(\rho L)$	0.004	0.010	0.040	0.040	0.004	0.010	0.040	0.040
$M_2/(\rho L)$	0.008	0.020	0.050	0.100	0.008	0.020	0.050	0.100

5. Conclusions. La determinazion des massis zontadis tes nanotrâfs par mieç de misurazion dai spostaments des frecuencis di risonance al è un probleme inviers rilevant in diviers cjamps des sciencis aplicadis atuâls. No cate chest, i risultâts teorics su cheste classe di problemis a son inmò rârs. In cheste note si presentin risultâts otignûts di resint dai autôrs te identificazion di une masse piçule concentrade intune nanotrâf uniforme, supuartade ai doi cjaueçs, par mieç di dâts di autofrecuencis. La nanotrâf e je modelade daûr de teorie dal gradient di deformazion modificât e il metodi di identificazion al è fondât su une procedure di perturbazion che e disfrute la pussibilitât di scrivi in forme

Table 2: Primis cuatri frecuencis di risonance f_n^U pe nanotrâf no perturbade (U) e lôr valôrs f_n associâts ai vot senaris $a - h$ de Tabele 1. Valôrs in Hertz; i erôrs percentuâi $\Delta = 100 \times (f_n^U - f_n)/f_n^U$ a son indicâts jenfri parentesis.

U	a	b	c	d	e	f	g
82226	81597 (0.76)	80679 (1.88)	78146 (4.96)	75467 (8.22)	81480 (0.91)	80399 (2.22)	77514 (5.73)
329428	326553 (0.87)	322391 (2.14)	308682 (6.30)	301057 (8.61)	327989 (0.44)	325844 (1.09)	316383 (3.96)
743182	740401 (0.37)	736421 (0.91)	719547 (3.18)	719245 (3.22)	735963 (0.97)	725806 (2.34)	696268 (6.31)
1326096	1314948 (0.84)	1299229 (2.03)	1259519 (5.02)	1221730 (7.87)	1320697 (0.41)	1312952 (0.99)	1289526 (2.76)

Table 3: Risultâts de identificazion pai vot senaris $a - h$ de Tabele 1. Determînazion des intensitâts di masse M_i e des corispondentis posizions de masse s_i , $i = 1, 2$. I erôrs percentuâi pe posizion, $err(s) = 100 \times (s_{\text{ident}} - s_{\text{exact}})/L$, e pe intensitât di masse, $err(M) = 100 \times (M_{\text{ident}} - M_{\text{exact}})/M_{\text{exact}}$, a son indicâts jenfri parentesis.

	a	b	c	d	e	f	g	h
s_1/L	0.202 (0.24)	0.206 (0.59)	0.210 (0.96)	0.230 (2.96)	0.202 (0.21)	0.205 (0.51)	0.211 (1.14)	0.223 (2.30)
s_2/L	0.351 (0.08)	0.352 (0.21)	0.353 (0.30)	0.361 (1.10)	0.449 (-0.10)	0.448 (-0.24)	0.442 (-0.83)	0.443 (-0.74)
$M_1/(\rho L)$	0.004 (4.91)	0.010 (3.36)	0.037 (-6.44)	0.041 (2.80)	0.004 (4.13)	0.010 (1.52)	0.037 (-6.55)	0.037 (-8.57)
$M_2/(\rho L)$	0.008 (3.64)	0.020 (0.12)	0.047 (-6.90)	0.080 (-20.02)	0.008 (3.95)	0.020 (0.88)	0.046 (-7.25)	0.084 (-15.76)

esplicite la variazion di prin ordin des frecuencis di risonance causade di un pont masse. Il metodi al è gjeneralizât a la identificazion di dôs massis concentradis par mieç de misurazion des primis cuatri frecuecis di risonance. A supuart des previsions teorichis, si son presentâts ancje i risultâts des simula滋ions numerichis.